

СДВИГ НАЙТА В КВАЗИОДНОМЕРНЫХ НЕУПОРЯДОЧЕННЫХ СИСТЕМАХ С АНДЕРСОНОВСКОЙ ЛОКАЛИЗАЦИЕЙ ЭЛЕКТРОНОВ

В.В.Авилов, Л.Н.Булаевский, О.Н.Дорохов

Для одномерной системы в состоянии андерсоновского диэлектрика рассчитано распределение сдвига Найта. При охлаждении распределение уширяется и становится асимметричным. Аналогичную форму приобретает линия ЯМР при низких температурах.

1. В неупорядоченных системах измерения сдвига Найта дают прямую информацию о пространственном распределении спиновой плотности электронов. Мы рассчитали распределение сдвига Найта K в системах с андерсоновской локализацией электронов. Функция распределения K зависит от одного параметра $\rho = 4TV_1N(E_F)$, где V_1 – объем локализации, T – температура и $N(E_F)$ есть средняя плотность электронных состояний на уровне Ферми. С уменьшением ρ распределение K становится асимметричным и уширяется. Поэтому при достаточно низких температурах распределение сдвига Найта начинает определять форму линии ЯМР, и измерения ее дают прямую информацию о радиусе локализации электронов.

Ниже мы рассмотрим одномерную систему электронов, имея в виду интерпретацию экспериментальных исследований ЯМР в квазиодномерном проводнике с сильным беспорядком $Qn(TCNQ)_2$.

2. Сдвиг Найта пропорционален величине спиновой плотности электронов на ядре $\sigma(\mathbf{r})$. Без учета взаимодействия электронов имеем

$$\sigma(\mathbf{r}) = \sum_{\nu} |\varphi_{\nu}(\mathbf{r})|^2 \frac{\partial f}{\partial \epsilon} \Big|_{\epsilon = \epsilon_{\nu}} 2\mu_B H, \quad (1)$$

где $f(\epsilon)$ – фермиевская функция распределения электронов и $\mu_B H$ есть зеемановская энер-

гис. Индекс ν нумерует локализованные состояния с энергиями ϵ_ν и волновыми функциями $\varphi_\nu(\mathbf{r})$ с центром локализации в точке \mathbf{r}_ν , причем волновые функции спадают экспоненциально с ростом $|\mathbf{r} - \mathbf{r}_\nu|$. В одномерном случае мы будем аппроксимировать $|\varphi_\nu(r)|^2$ функцией $(4R_I)^{-1} \text{ch}^{-2} [(r - r_\nu) / 2R_I]$.

Тогда из (1)

$$\kappa = \frac{K}{\bar{K}} = \rho^{-1} \sum_\nu \text{ch}^{-2} x_\nu \text{ch}^{-2} y_\nu, \quad (2)$$

где K есть средний (по объему) сдвиг Найта, пропорциональный $N(E_F)$ и $x_\nu = |r - r_\nu| / 2R_I$, $y_\nu = |E_F - \epsilon_\nu| / 2T$. В области $\rho\kappa \geq 1$ распределение κ зависит от вида функции $\varphi_\nu(r)$ вблизи $r = R_I$, и описание с помощью (2) имеет модельный характер. При $\rho\kappa \ll 1$ основной вклад в распределение κ определяется областью $r \gg R_I$ и полученные ниже результаты для систем универсальны.

Распределение κ зависит от распределения случайных величин x_ν, y_ν на плоскости x, y , причем средняя плотность точек ν равна ρ (мы считаем $E_F \gg T$). Из расчетов² следует, что x_ν и y_ν распределены равномерно и независимо друг от друга при $x_\nu > 1$. На меньших расстояниях эффект расталкивания уровней приводит к тому, что при малых $x_\nu < 1$ более вероятны малые y_ν . Этот эффект несуществен при $\rho\kappa \ll 1$ и далее мы будем считать распределения величин x_ν, y_ν независимыми и равномерными. Тогда из (2) получаем для функции распределения

$$W(\kappa) = \int_{-\infty}^{+\infty} \frac{dp}{2\pi} \exp\{ip\kappa + \rho \int_0^\infty dx \int_0^\infty dy [\exp(ip\rho^{-1} \text{ch}^{-2} x \text{ch}^{-2} y) - 1]\}. \quad (3)$$

При $\rho \gg 1$ выражение (3) дает гауссово распределение

$$W(\kappa) = \sqrt{\frac{9\rho}{8\pi}} \exp\left[-\frac{9}{8}\rho(\kappa - 1)^2\right], \quad \rho \gg 1, \quad (4)$$

причем в соответствии со сказанным выше асимптотика (4) может быть использована лишь для оценок ширины распределения κ .

В области $\rho\kappa \ll 1$ функции $\text{ch}^{-2}x$ и $\text{ch}^{-2}y$ можно заменить экспонентами, так как основной вклад в интеграл дают большие x, y , и (3) преобразуется к виду

$$W(\kappa) = \pi^{-1} \rho \exp\left(\frac{5\pi^2\rho}{12}\right) \int_0^\infty dt \sin(\pi\rho \ln \gamma t) \exp(-\kappa\rho t - \frac{1}{2}\rho \ln^2 \gamma t), \quad (5)$$

$$\gamma = e^C, \quad C = 0,577.$$

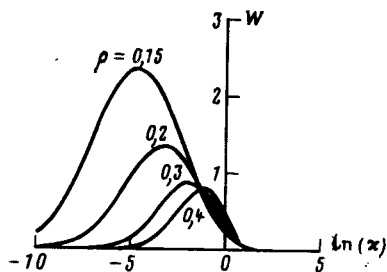
Графики функции $W(\kappa)$ в зависимости от $\ln \kappa$ показаны на рис. 1. Из (5) следует гауссово распределение логарифма κ при $\rho \rightarrow 0$

$$W(\kappa) = \rho \exp\left[\frac{1}{2\rho} - C - \frac{1}{2}\alpha(\ln \kappa - \ln b)^2\right],$$

$$\ln b = -\frac{1}{\rho} - \ln \rho, \quad \alpha^{-1} = \rho^{-1} - \ln(\pi/2\gamma^2\rho). \quad (6)$$

При уменьшении ρ пик функции $W(\kappa)$ сползает в область $\rho\kappa \ll 1$, и описание (6) при $\rho \ll 1$ оказывается точным почти для всех κ за исключением далекого правого крыла, где функция $W(\kappa)$ очень мала. По мере уменьшения ρ реальная ширина распределения

сдвига Найта Δk , определяемая по половине от максимума, сначала растет, достигает максимума при $\rho \approx 1$, и затем падает при $\rho \rightarrow 0$ как $\rho^{-1} \exp \left[-\frac{1}{\rho} + \left(\frac{2 \ln 2}{\rho} \right)^{1/2} \right]$. Поэтому при малых ρ форма линии ЯМР может зависеть от других источников уширения, отличных от неоднородного сдвига Найта. Если их вклад в ширину линии есть γ , то сдвиг Найта доминирует при $\Delta k > \gamma$. В современной ЯМР спектроскопии высокого разрешения устранено диполь-дипольное уширение и на монокристаллических образцах типа $Qn(TCNQ)_2$ может быть достигнуто отношение $\gamma/\bar{K} \approx 0,02$. В такой ситуации сдвиг Найта определяет форму линии при $\rho > 0,1$.



3. Выше мы не учитывали отталкивание электронов. Из-за него при низких температурах вблизи уровня Ферми появляются состояния, занятые одним электроном. В результате парамагнитная восприимчивость χ растет по степенному закону при $T \rightarrow 0$, и расчет сдвига Найта требует иного подхода (см. ³). В $Qn(TCNQ)_2$ рост χ начинается ниже 20К, а при $T > 20К$ величина χ примерно постоянна и соответствует восприимчивости вырожденного электронного газа. При 295К измерения ¹ показали доминирующую роль сдвига Найта в формировании линии ЯМР. Она асимметрична, ее ширина согласно (4) или (5) соответствует значению $\rho \approx 5$. Из данных для χ имеем $N(E_F) = (\pi v_F)^{-1} \approx 8,4 \cdot 10^3 \text{ К}^{-1} \cdot \text{см}^{-1}$ и R_l достигает около 15 межмолекулярных расстояний вдоль стопки $TCNQ$. Обратное время соударений $\tau^{-1} = 2v_F/R_l \approx 150К$ в согласии с оценками ⁴. При охлаждении до 85К наблюдалось уширение линии и сдвиг пика в сторону $K = 0$ в соответствии с расчетами. При этом ρ падало примерно в 4 раза, т. е. в интервале 85 – 295К радиус локализации R_l почти не зависит от температуры. В ¹ исследовались поликристаллические образцы. Для них γ определяется в основном анизотропией сдвига, и $\gamma/\bar{K} \approx 0,4$ независимо от T . В таких образцах сдвиг Найта доминирует при $\rho \gg 1$. Поэтому при меньших ρ (ниже 85 К) исследование сдвига Найта возможно лишь на монокристаллических образцах.

Авторы благодарят А.М.Вайнруба за ознакомление с результатами измерений ЯМР в $Qn(TCNQ)_2$ при низких температурах, а также Л.П.Горькова и Э.И.Рашба за полезное обсуждение.

Литература

1. Вайнруб А.М., Хейнмаа И.А., Алла М.А., Вия С.Х., Липпмаа Э.Т. Письма в ЖЭТФ, 1985, 41, 468.
2. Горьков Л.П., Дорохов О.Н., Пригара Ф.В. ЖЭТФ, 1983, 84, 1440.
3. Булаевский Л.Н. ЖЭТФ, 1978, 75, 748.
4. Дорохов О.Н., Матвеевко С.И., Пригара Ф.В. ФНТ, 1981, 7, 738.